

6
κ-14
658

ОБЪЕДИНЕНИЙ ИНСТИТУТ
ЯДЕРНЫХ ИССЛЕДОВАНИЙ

Лаборатория ядерных проблем

Лаборатория теоретической физики

Ю.М. Казаринов, В.С. Киселев

И.Н. Силин, С.Н. Соколов

D - 658

ОПРЕДЕЛЕНИЕ КОНСТАНТЫ
П-МЕЗОН-НУКЛОННОГО ВЗАИМОДЕЙСТВИЯ
ПО ДИФФЕРЕНЦИАЛЬНЫМ СЕЧЕНИЯМ

УПРУГОГО р-р -РАССЕЯНИЯ

ЖЭТФ, 1961, ТЧII, в1, с197.

920/6
3р.

Ю.М. Казаринов, В.С. Киселев

И.Н. Силин, С.Н. Соколов

D - 658

ОПРЕДЕЛЕНИЕ КОНСТАНТЫ
П-МЕЗОН-НУКЛОННОГО ВЗАИМОДЕЙСТВИЯ
ПО ДИФФЕРЕНЦИАЛЬНЫМ СЕЧЕНИЯМ
УПРУГОГО р-р -РАССЕЯНИЯ

А н н о т а ц и я

С целью определения f^2 обработаны данные $\sigma_{pp}(\vartheta)$ при энергиях 147, 330 и 380 Мэв. Найденные значения f^2 при $E = 147$ и 380 Мэв не противоречат величине $f^2 = 0,08$. $\sigma_{pp}(\vartheta)$ при энергии 330 Мэв удовлетворительно согласовать со значением $f^2 = 0,08$ не удается.

/1/

Анализ экспериментальных данных по рассеянию нейтронов протонами показал, что дифференциальное сечение $\sigma_{np}(\theta)$ в широком интервале энергий от 90 до 630 Мэв в пределах ошибок эксперимента, по-видимому, не противоречит величине перенормированной константы П-мезон-нуклонного взаимодействия $f^2 = 0,08$. В связи с тем, что подобное исследование данных о рассеянии протонов протонами может дать интересные результаты, была проведена аналогичная обработка $\sigma_{pp}(\theta)$ при энергиях $147^{/2/}$, $330^{/3/}$ и $380^{/4/}$ Мэв. Следует заметить, однако, что использование $\sigma_{pp}(\theta)$ для определения f^2 способом, примененным в /1/, сильно затруднено благодаря необходимости учитывать кулоновское рассеяние. Введение же поправок на кулоновское рассеяние заметно понижает точность экспериментальных данных, особенно в области малых углов, и, кроме того, возможно только после проведения фазового анализа. В настоящее время необходимые сведения о фазовых сдвигах в упругом /p-p/ рассеянии известны только для энергий $310^{/5/}$ и $150^{/6/}$ Мэв. Это обстоятельство и определило выбор данных для обработки.

Учет кулоновских эффектов проводился методом, предложенным в /5/. Для этого \bar{R} - матрица представляется в виде:

$$\bar{R} = \bar{S} - 1 = \bar{S} - S_c' + S_c - 1 = \bar{\alpha} + R_c .$$

$\bar{\alpha}$ - матрица, элементы которой выражаются через полные фазовые сдвиги δ /"total Bar shifts"/ и фазовые сдвиги чисто кулоновского рассеяния Φ_ℓ , R_c - матрица кулоновского рассеяния.

Матричные элементы α , определяющие амплитуду рассеяния, записывались в виде:

$$\alpha_\ell = e^{2i\delta_\ell} - e^{2i\Phi_\ell} \approx (1+2i\Phi_\ell)(e^{2i\delta_\ell''}-1)$$

для синглетного рассеяния; для триплетного рассеяния

$$\alpha_{lj} = e^{2i\delta_{lj}} - e^{2i\Phi_\ell} \approx (1+2i\Phi_\ell)(e^{2i\delta_{lj}''}-1) \quad \text{при } l=j$$

$$M_{11} = f^2 m \left[\frac{1-x}{x_0-x} \cdot \frac{1}{2} + \frac{1}{2} \cdot \frac{1+x}{x_0+x} \right] + \sum_{\text{нечётн. } k} \alpha_k^{11} P_k(x) ,$$

$$M_{00} = f^2 m \left[\frac{x}{x_0-x} - \frac{x}{x_0+x} \right] + \sum_{\text{нечётн. } k} \alpha_k^{00} P_k(x) ,$$

$$M_{1-1} = f^2 m \left[\frac{1}{2} \frac{1+x}{x_0-x} + \frac{1}{2} \frac{1-x}{x_0+x} \right] + e^{-2i\varphi} \sum_{\text{нечётн. } k} \alpha_k^{1-1} P_k^{(2)}(x) ,$$

$$M_{ss} = f^2 m \left[-\frac{1}{x_0-x} + \frac{1}{x_0+x} \right] + \sum_{\text{нечётн. } k} \alpha_k^{ss} P_k(x) ,$$

$$M_{10} = f^2 m \left[-\frac{\sqrt{2}}{2} \frac{\sin \vartheta}{x_0-x} + \frac{\sqrt{2}}{2} \frac{\sin \vartheta}{x_0+x} \right] + e^{-i\varphi} \sum_{\text{нечётн. } k} \alpha_k^{10} P_k^{(0)}(x) ,$$

$$M_{01} = f^2 m \left[-\frac{\sqrt{2}}{2} \frac{\sin \vartheta}{x_0-x} + \frac{\sqrt{2}}{2} \frac{\sin \vartheta}{x_0+x} \right] + e^{i\varphi} \sum_{\text{нечётн. } k} \alpha_k^{01} P_k^{(0)}(x) .$$

m — масса кулона.

Подставив M_{ik} в /2/ и /3/, получим

$$P(\vartheta) G_{pp}(\vartheta) = \sin \vartheta \sum_{n=1}^{n_{\max}} c_n x^{2n-1} , \quad /4/$$

$$G_{pp}(\vartheta) = f^4 b^2 \left[\frac{1}{(x_0-x)^2} + \frac{1}{(x_0+x)^2} \right] + a_2 \left[\frac{1}{x_0-x} + \frac{1}{x_0+x} \right] + \sum_{n=0}^{n_{\max}} A_n x^{2n} \quad /5/$$

/нормировка та же, что и в /1/ /.

Таким образом, вклад в $P(\vartheta) \cdot \sigma_{pp}(\vartheta)$ от членов, имеющих особенности при $x = \pm x_0$, действительно отсутствует, а из сравнения /4/, /5/ видно, что максимальные степени x в $\sigma_{pp}(\vartheta)$ и $P(\vartheta) \sigma_{pp}(\vartheta)$ отличаются на единицу^{x/}. Следовательно, эта угловая зависимость поляризации, можно установить, начиная с каких орбитальных моментов основной вклад в сечение рассеяния дает полюсный член, содержащийся в одномезонной диаграмме. Даные об угловой зависимости $P(\vartheta) \sigma_{pp}(\vartheta)$, приведенные в работе /2/, указывают на то, что при энергии 147 Мэв n_{max} в выражении /1/ для $\sigma_{pp}(\vartheta)$, по-видимому, не превышает двух. С ростом энергии до 315 Мэв на характере $P(\vartheta) \sigma_{pp}(\vartheta)$ все более и более явно сказывается $^3P_2 - ^3F_2$ -интерференция^{/8/}, и, следовательно, n_{max} в этом случае равно трем. Следует заметить, правда, что поляризация $P(\vartheta) \sigma_{pp}(\vartheta)$ определяется перекрестными произведениями амплитуд M_{ik} и в связи с этим малые добавки волн с большими ℓ могут проявляться в угловом распределении $P(\vartheta) \sigma_{pp}(\vartheta)$ более отчетливо, чем в $\sigma_{pp}(\vartheta)$.

Результаты

Результаты обработки представлены в таблице 1. Коэффициенты a_1 , найденные при энергиях 380 и 147 Мэв, дают для f^2 значения $0,066 \pm 0,014$ и $0,070 \pm 0,015$ при $V^2 = \bar{x}^2/\bar{x}^2 = 0,6$ и $1,6$ и $n_{max} = 1$ и 0 , соответственно. Эти значения хорошо согласуются с результатами, полученными при обработке $\sigma_{np}(\vartheta)$ /1/, и не противоречат $f^2 = 0,08$. Увеличение n_{max} на единицу в обоих случаях меняет a_1 незначительно. Быстро возрастающие с увеличением n_{max} ошибки коэффициентов a и A , однако, не дают возможности провести обработку данных при больших n_{max} . Для $E = 330$ Мэв коэффициент a_1 получается примерно на порядок большим и $f^2 = 0,19 \pm 0,02$ / $n_{max} = 2$. Изменение числа членов в выражении для $\sigma_{pp}(\vartheta)$ в этом случае также слабо влияет на величину первого коэффициента.

x/ Такая же связь существует и в /п-р/ -рассеянии.

Критерий согласия остается постоянным и неудовлетворительным при изменении π_{\max} в 1/ от двух до четырех / $v^2 = \chi^2/\bar{\chi}^2 \approx 3/$. Попытка удовлетворить экспериментальным данным при фиксированном коэффициенте $\alpha_1 = f^4 = 0,064$ увеличивает v^2 до 3,9 и, кроме того, дает $A_{\text{норм}} < 0$. Все это, по-видимому, указывает на то, что в экспериментальных данных $\sigma_{pp}(v)$ имеются заметные неучтенные ошибки. В самом деле, из сравнения рис.2 и рис.3 видно, что экспериментальные точки при $E_p = 330$ Мэв имеют значительно больший разброс относительно расчетной кривой, чем при $E_p = 380$ Мэв. Следует указать, однако, что при обсуждении полученных результатов Л.И. Лапидусом было замечено, что резкое изменение коэффициента α_1 при $E_p = 330$ Мэв может быть вызвано также вкладом в действительную часть амплитуды / $p-p$ / -рассеяния, происходящим от резкого возрастания сечения образования П-мезонов в $p-p$ -столкновении вблизи порога реакции /9/.

Таблица I.

E_p MeV	$\alpha_1 \cdot 10^{-2}$ $= f^4 \cdot 10^{-2}$	$\alpha_2 \cdot 10^{-2}$	$A_n \cdot 10^{-2}$			$U^2 = \frac{f^2}{\mu^2}$
			$n = 0$	$n = 1$	$n = 2$	
3,45±0,49 (418)	-0,48±0,16 (2021)	1,81±0,16 (5125)	-0,18±0,15 (737)	1,23±0,30 (1441)		2,95
3,72±0,89 (1349)	-0,30±0,10 (22917)	1,00±0,17 (4638)	0,26±0,23 (1844)	0,51±0,9 (2667)	0,6±0,7 (4934)	3,0
2,46±2,02 (7.10 ³)	-0,13±0,26 (169.10 ³)	0,74±0,47 (35.10 ³)	0,12±0,31 (3.2.10 ³)	0,51±0,4 (2267)	0,60±0,70 (4934)	-2,00±3,00 (64.10 ³)
0,64 Фиксирован	0,027±0,012 (360)	0,45±0,22 (78)	-0,48±0,10 (348)	1,42±0,31 (1526)	1,53±0,32 (1036)	3,9
0,44±0,16 (98)	-0,006±0,07 (535)	0,51±0,013 (63)	0,72±0,002 (68)			0,6
0,35±0,33 (420)	-0,0005±0,02 (4046)	0,5±0,04 (541)	0,07±0,03 (71,0)	-0,03±0,10 (728)		0,62
0,50±0,20 (61)	-0,01±0,03 (202)	0,51±0,05 (61)				1,6
0,76±0,54 (454)	-0,07±0,10г (3489)	0,56±0,16 (787)	0,09±0,17 (224)			

В скобках указаны факторы корреляции 111.

В таблице 2 представлены величины f^2 , полученные при обработке $\sigma_{pp}(\vartheta)$ и $\bar{\sigma}_{pp}(\vartheta)$ /1/ описанным способом.

Таблица 2

Тип взаимодействия	пр	пр	пр	пр	пр	пр
Энергия E Мэв	90	147	330	380	380-400	630
	$0,060 \pm 0,006$	$0,070 \pm 0,015$	$0,19 \pm 0,02$	$0,066 \pm 0,014$	$0,065 \pm 0,007$	$0,044 \pm 0,012$

Из таблицы 2 видно, что во всем интервале энергий от 90 до 630 Мэв /исключая $E_p = 330$ Мэв/ полученные значения, по-видимому, не противоречат величине 0,08, хотя систематически лежат ниже этой величины.

Литература

1. Н.С. Амаглобели, Ю.М. Казаринов, С.Н. Соколов, И.Н. Силин, ЖЭТФ 39, 948 /1960/.
2. I.N. Palmieri, A.M. Cormack, N.F. Ramsey, R.Wilson. Ann.Phys. 5, 299 (1958).
3. N. Hess. Rev. Mod.Phys. 30, 368 (с 8, F 4) (1958).
4. I.R. Holt, I.C. Kluyver, I.A. Morf, Proc. Phys.Soc. 71, 758 (1958).
5. H.P. Stapp, T.I. Ipsilantis, N. Metropolis . Phys.Rev. 105, 302 (1957).
6. И.М. Гельфанд, А.Ф. Грашин, Л.Н. Иванова , ИТЭФ АН СССР, препринт /1960/.
7. M. Cini, S. Fubini, A. Stanghelini. Phys.Rev. 114, 1633 (1959).
8. O. Chamberlain, E. Segre, R.D. Tripp, Wiegand, T. Ipsilantis. Phys.Rev. 105, 288 (1957).
9. Л.И. Лапидус, Чжоу Гуан-чжоу, ЖЭТФ, 39, 112.

Работа получена 20 января 1961 г.

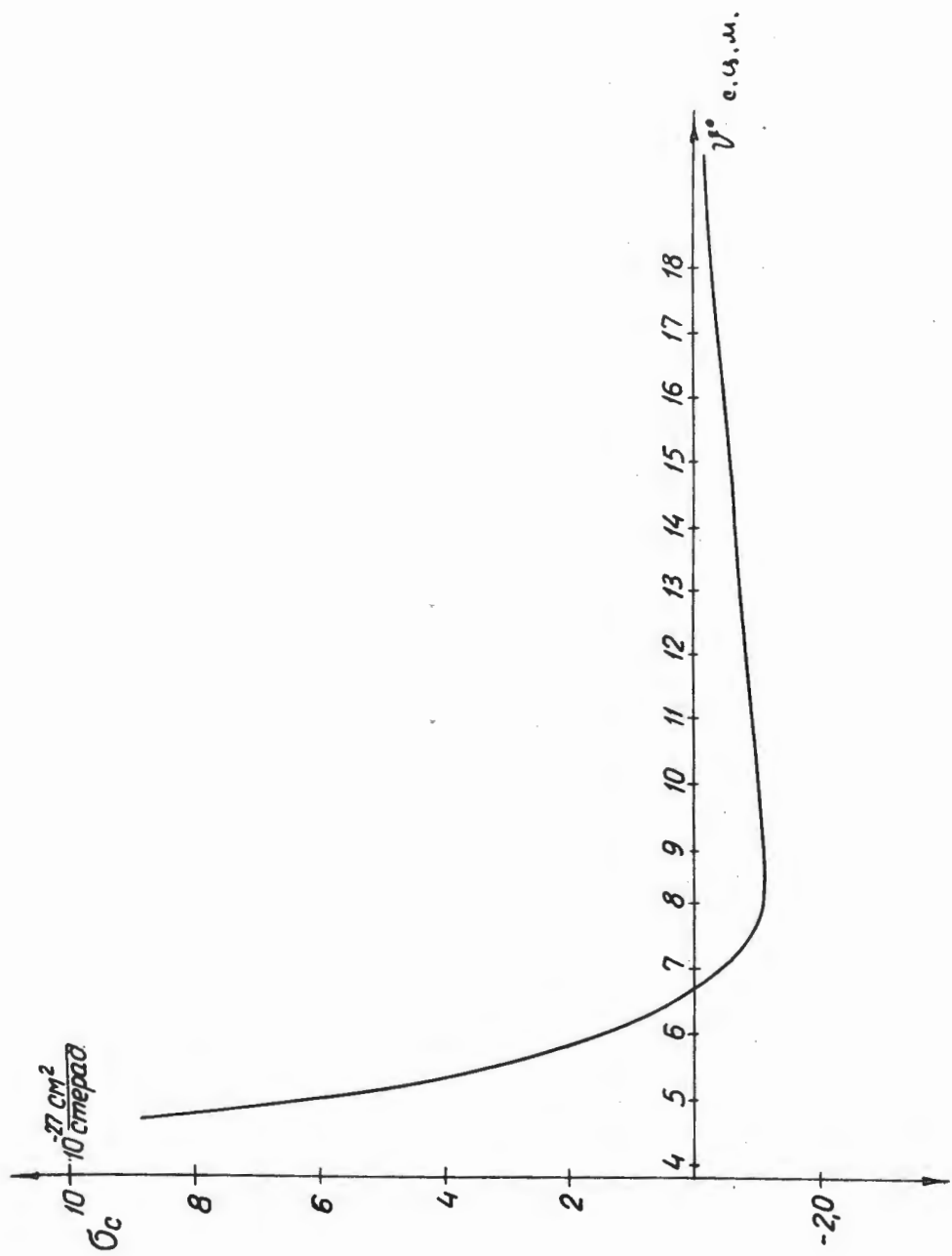


Рис. 1 Зависимость поправок на куплоновское рассеяние от угла рассеяния ($E_p = 380 \text{ мэВ}$).

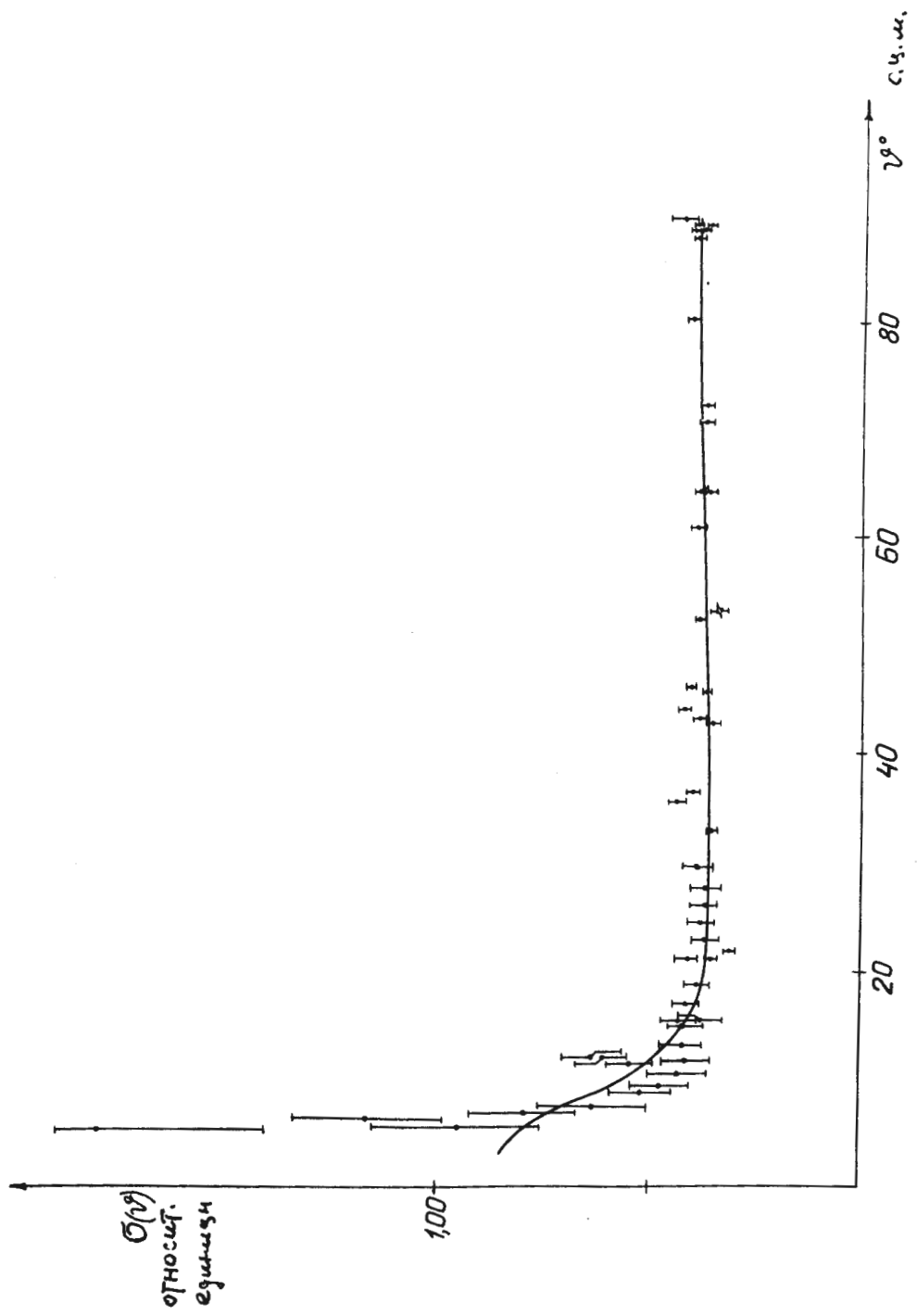


Рис. 2. Зависимость ядерной части $\sigma(v)$ от угла рассеяния при $E_p = 330$ мев.
Сплошная кривая рассчитана по формуле 1.

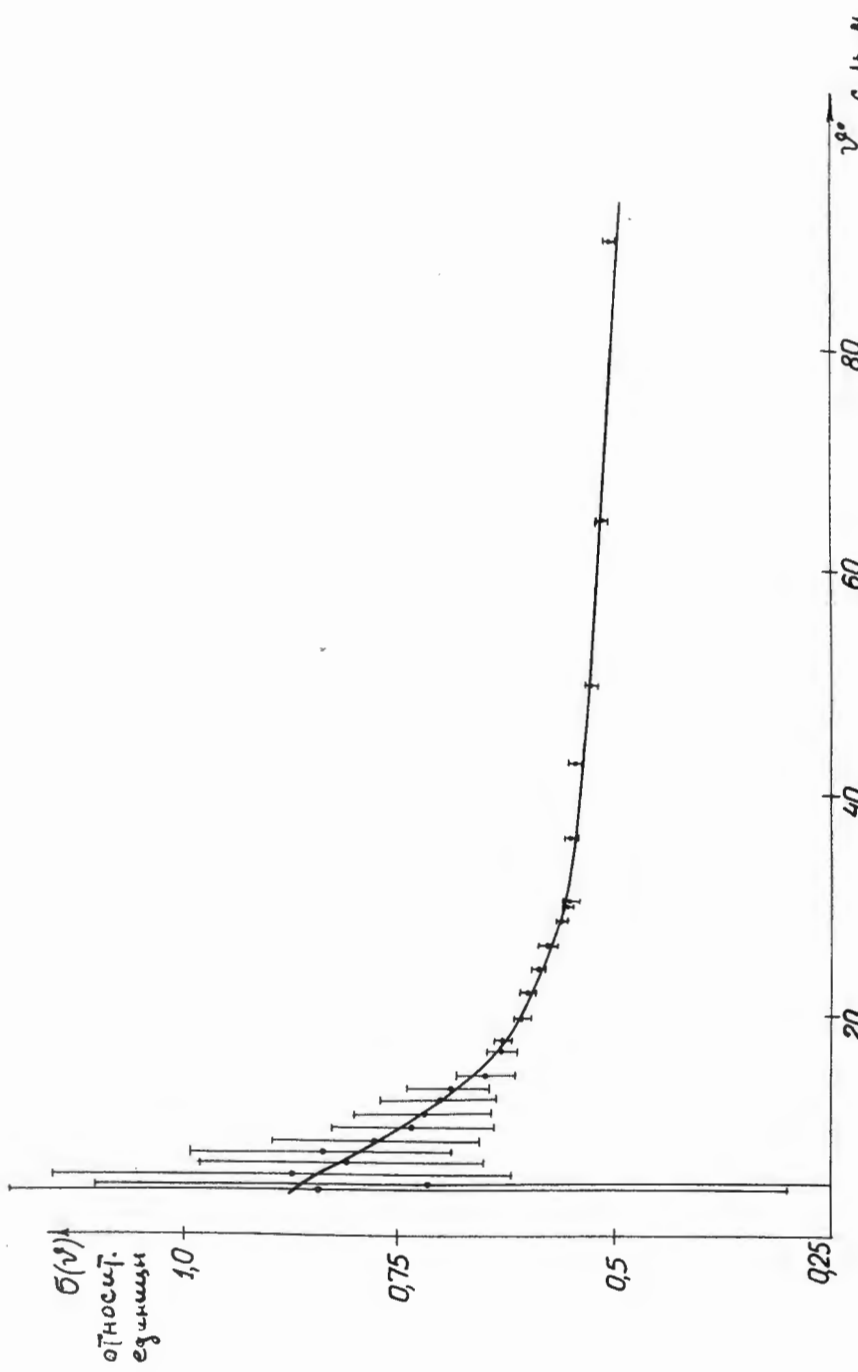


Рис. 3. Зависимость ядерной части $\sigma(v)$ от угла рассеяния при $E_p = 380 \text{ MeV}$.
Сплошная кривая рассчитана по формуле 1.